

内部資料
注意保存

1964

全国測試基地年会報告集

下 集

(稀有元素分析)

国家科委

稀有元素矿石、矿物分析測試基地专业組

1964年9月

說 明

全國稀有元素分析測試基地第一屆年會于5月31日至6月9日在北京召開，在會上宣讀的論文有175篇。根據各論文報告組評議結果，屬於第一類（方法比較成熟、值得推薦）的論文共有30篇（其中一篇未寄來）；屬於第二類（可在局部範圍內試用或為通用方法）的論文共有105篇；屬於第三類（具有一定的理論或實踐意義）的論文共有32篇。截至9月15日，收到第二、三類論文摘要共126篇。

根據大會“論文編審委員會”的決定，上述第一類論文均以全文出版，蒐入上集；第二類、第三類論文以詳細摘要出版，蒐入下集。同時，也將這次大會上交來的專題報告一并編輯出版。

論文和摘要是由“編審委員會”指定的“責任編輯小組”負責審編的。由於時間倉促，未能將編審過程中所有問題重新提交作者修改，基本上根據原文出版，疏漏和不當之處請大家批評指正。

本報告集由中國科學院新技術局負責出版、交流。在編輯、出版過程中得到南京日報印刷廠及有關各單位張佩樺、沈瑞平、馮家積、陳耀惠、林玉南、張振輝、黃金鯤等同志的大力協助，謹此一并致謝。

編 者
1964年7月

全国稀有元素分析第一屆年会
論文編審委員會

主任委員：陳四箴

副主任委員：郭承基、段兆庆

委 員：万 犁、王馨澤、朱子長、江邦杰、余 翱、馬光祖

梁樹权、高小霞、張佩樺、曾云鶴、謝忠信

責任編輯：万 犁、朱子長、江邦杰、吳澤霖、馬光祖、謝忠信

目 录

专 题 报 告

- | | |
|-------------------------|---------|
| 1. 岩石矿物中铌钽的分出..... | 余皓等(1) |
| 2. 混合型络合物在分析化学中的应用..... | 慈云祥(33) |
| 3. 荧光X射线光谱分析..... | 卢云锦(48) |

論 文 摘 要

- | | |
|--|-----------|
| 1. 矿石中铌的二甲酚橙比色测定..... | 赵家仁等(67) |
| 2. 硫氰酸盐比色法测定铌的改进..... | 刘万昌(68) |
| 3. 矿石中微量铌的测定..... | 杨希贤(70) |
| 4. 溴量法测定铌..... | 纪运常等(71) |
| 5. 利用维多利亚蓝显色剂测定矿石中微量钽..... | 吴纯斌(73) |
| 6. 孔雀绿光度法测定矿石中微量钽..... | 吴桂流等(74) |
| 7. 丁基罗丹明B光度法测定矿石中微量钽..... | 翟秋福(76) |
| 8. 矿石中铌和钽的比色测定..... | 冯家积(78) |
| 9. 铌钽矿物中高含量钽的测定..... | 陈耀惠等(80) |
| 10. 矿石中大量铌钽的测定..... | 吴曼君(82) |
| 11. 高品位铌钽分离及其测定——磷酸三丁酯萃取法..... | 詹竹仁等(84) |
| 12. 同位素稀释法测定含铌矿石中的钽..... | 王长发等(87) |
| 13. 含钛矿石中钽的分光光度测定——钛试剂III法..... | 肖书清(89) |
| 14. 微量钽的螯合滴定..... | 洪水皆等(90) |
| 15. 用磷酸二丁酯萃取钽的比色测定..... | 蔡在衡(92) |
| 16. 离子交换分离针中少量稀土及其络合滴定..... | 吴瑞荣(93) |
| 17. 铝合金及镁合金中稀土总量的测定——纤维素粉柱反相分配层析法
分离..... | 庞叔微等(94) |
| 18. 微量稀土的螯合滴定..... | 洪水皆等(95) |
| 19. 矿石中少量稀土总量的测定——钛试剂I比色法..... | 李顺清(97) |
| 20. 偶氮胂III测定少量稀土元素..... | 张振辉(98) |
| 21. 利用固体8-羟基喹啉分离针、钽、钛中的少量稀土..... | 王君仁等(100) |
| 22. 连续络合滴定独居石中的针和稀土..... | 翟秋福(100) |
| 23. 用偶氮胂酸I光度法测定钢中微量稀土总量..... | 白玉文等(102) |
| 24. 矿石中钽的火焰分光光度测定..... | 李顺清(103) |
| 25. 镁合金中钽和钛的火焰光度测定法..... | 汪厚基等(104) |
| 26. 钽、钛、钽、铌及钽的吸收光谱分析..... | 卢国仪等(105) |

27. 稀土乙酸盐絡合物的吸收光譜研究..... 卢国仪等 (106)
28. 微量钪的几种分离与測定方法的比較..... 张菊芬等 (107)
29. 矿石岩石中鍶的比色測定——鋁試劑比色法..... 李寿增等 (108)
30. 以二甲酚橙、过氧化氢分光光度法測定矿石中微量的鉻..... 史慧明等 (110)
31. 苯芴酮比色法測定微量鍺(应用于鉛鋅矿炉渣及烟尘)..... 蔣名琨 (111)
32. 用二甲苯酚橙分光光度法測定鎘..... 史慧明等 (113)
33. 錫石中銅的比色測定..... 陈淑海等 (114)
34. 罗丹明丁酯光度法測定銅..... 阮萍萍等 (115)
35. 結晶紫法測定鉻..... 邓兴桐 (117)
36. 放射性沉淀法測定矿石中微量鉻..... 杨靜勤 (119)
37. 銅阳极泥中硒的电紙层析..... 左宗杞等 (120)
38. 硒和碲的特效离子交換纖維素紙层析..... 高家隆等 (121)
39. 丁基罗丹明B測定微量碲..... 张振輝 (123)
40. 岩石中微量硒、碲的分离和測定..... 魯文泉等 (125)
41. 矿石中鍺的比色測定..... 林建蒲 (126)
42. 鋼精矿中鍺的測定..... 吳季高 (127)
43. 矿石中微量鍺的測定..... 郑荣希等 (129)
44. 矿石中微量鈷的萃取比色測定..... 陈耀惠等 (130)
45. 应用氯化6, 7-二羟基-2, 4-二苯基苯并吡喃比色測定微量 鍆..... 张帆等 (131)
46. 鋼与邻苯二酚紫絡合物及其在鋁的分析化学上的应用..... 张帆等 (134)
47. 对-二甲胺基苯基佛琳分光光度法測定微量 鋼..... 沈含熙等 (137)
48. 应用銅离子催化鋁与硫氰酸盐反应比色測定鋁..... 赵国鈞 (138)
49. 矿石中钪的比色測定..... 林玉南 (139)
50. 稀土氯化物溶液中鈣和鋇的火焰光度測定法..... 汪厚基等 (140)
51. 金属鋯中微量鈣的离子交換分离与測定..... 曹善芬 (141)
52. 直接分光光度法測定金..... 吳精如 (143)
53. 矿石中金的测定..... 罗长生 (144)
54. 矿石中金的比色測定..... 紀运常等 (146)
55. 玫瑰紅比色法測定金的条件試驗..... 罗若雷 (148)
56. 同位素稀釋法測定矿石中的銀..... 王长发 (151)
57. 銀的比色測定..... 吳扬威 (152)
58. 矿石中銀的比色測定..... 郭繼榮等 (153)
59. 矿物岩石中銀的容量法測定..... 王金甫等 (155)
60. 矿石中微克量鉻的化学法測定..... 徐紀宏等 (156)
61. 貴金属分析(I)——試金分析中取样問題的探討..... 王繼武 (158)
62. 貴金属分析(II)——矿石中微克量鉻鉬之比色測定..... 王繼武 (159)
63. 矿石中鉻鉬的連續測定..... 吳精如等 (161)
64. 矿石中微量鉻与鉬的連續測定..... 罗长生 (163)
65. 矿石中痕量鉻的測定..... 周振鐸 (165)

66. 氯化亚锡分光光度法联合测定铂铑 赛启龙等 (166)
 67. 铅聚集火试金法测定岩石中的铑 伍铁铵等 (167)
 68. 铂铱合金中铱的容量法测定 赛启龙等 (168)
 69. 矿石中铱的测定 沈慧君 (169)
 70. 岩石和矿石中钌与锇的化学分析 林玉南等 (171)
 71. 绿柱石快速全分析 丁玉明等 (173)
 72. 绿柱石的全分析 林建蒲 (174)
 73. 黄绿石-细晶石族矿物的系统全分析 张 静等 (176)
 74. 锇英石全分析 田淑贵 (178)
 75. 独居石全分析 李锡安 (181)
 76. 析榴子石全分析 李锡安 (185)
 77. 单矿物微量分析 金秉慧 (187)
 78. 若干铌钽矿物的物相分析法 毕忠彬等 (188)
 79. 稀土矿物相分析方法研究 唐肖政等 (190)
 80. 铌的极谱研究 夏诵媚等 (191)
 81. 辉铂矿和岩石中铼的极谱测定 王 亮 (192)
 82. 锌矿物及其冶炼中间产品中铅铜镉的連續极谱测定 杨文彬 (193)
 83. 金銀合粒中銀的极谱法测定 卢巽珍等 (194)
 84. 镍的交流示波极谱滴定法 高 鸿等 (195)
 85. 矿石中微量硒的示波极谱测定 彭士宣 (196)
 86. 矿石中微量碲的示波极谱测定 彭士宣 (197)
 87. 硒的方波极谱测定 卢巽珍等 (198)
 88. 矿石矿物中铌钽的光谱法测定 吴景鉢 (199)
 89. 岩石中少量铌钽的光谱化学测定 来宝宽等 (201)
 90. 矿石中铌钽的光谱测定法 刘进琦 (202)
 91. 用水平电弧对矿物岩石中的铼、铑进行光谱定量测定 单永健 (203)
 92. 某种镍基高温合金中铼的光谱分析 李晶茹等 (204)
 93. 稀土元素的光谱定量测定——独居石中钽、铈、镨、钕、钐、钇 单永健等 (205)
 94. 矿物岩石中少量钽、铈、钇的光谱测定 陈大康 (206)
 95. 稀土元素及钍的光谱化学定量法 杨琼章等 (207)
 96. 稀土混合物中单元素及钍、钪的光谱测定 钟学宜 (210)
 97. 黑钨矿及绿柱石中钪的光谱测定 杨琼章 (212)
 98. 煤灰中钪的光谱分析 王道粹 (214)
 99. 不同矿石矿物中铈的光谱定量测定 袁玄暉 (216)
 100. 绿柱石选矿研究中铈的光谱定量分析 马志坤等 (217)
 101. 光谱法测定矿石中低、中、高含量的铈 吴重华等 (219)
 102. 铊浸出渣中铈的光谱测定 陈少文等 (220)
 103. 用双电弧法在矿石中测定痕量易挥发元素的光谱分析 吴重华 (222)

104. 关于利用固相化学反应以提高光谱分析某些稀有分散元素灵敏度的研究 梁造 (224)
105. 矿石中镓的光谱测定 徐德元 (225)
106. 矿石中铟的光谱测定法 梁造 (227)
107. 铅锌矿中锗的光谱测定 潘亚龙 (228)
108. 矿石中锗的光谱测定 徐德元 (230)
109. 盐水中铷铯银的光谱定量分析 马怡载等 (231)
110. 盐水中微量铯的光谱定量分析 马怡载等 (233)
111. 伟晶岩中锂、铷、铯的光谱测定 陈隆懋 (234)
112. 矿石中铷铯的光谱定量分析 何长一等 (235)
113. 褐钇铜矿中若干少量元素的光谱定量测定 蒋惠钟等 (237)
114. 纯稀土氧化物中稀土杂质的光谱定量分析 潘凤仪等 (238)
115. 五氧化二铌中杂质元素的光谱测定法 荆孝福等 (248)
116. 氧化钽中杂质的光谱测定 李俊豪等 (249)
117. 氧化铍中硅、铝、铅、镁、钙的光谱测定 汤湛清等 (251)
118. 荧光X-射线光谱分析的灵敏度 卢云锦等 (254)
119. 钨铁矿单矿物中铌的一次发射X-射线光谱分析 徐子培 (256)
120. 钨钽混合氧化物中铌钽的荧光X-射线光谱定量测定 梁国立等 (258)
121. 钨钽矿物中铌钽的荧光X-射线光谱稀释法的测定 王德恭 (259)
122. 矿石、矿物中铌与钽的化学-荧光X-射线光谱的定量测定 来宝宽等 (260)
123. 高纯金属钽粉和五氧化二钽粉中铌和五氧化二铌的X光光谱
测定 马光弟 (262)
124. 矿石与矿物中锆的荧光X-射线光谱快速测定 马光祖等 (263)
125. 锆英石中锆、铪的荧光X-射线光谱定量测定 鄭梁恆等 (264)
126. 混合稀土氧化物的荧光X-射线光谱分析中某些問題的研究 謝忠信等 (265)

岩石矿物中铌钽的分出

(“岩石矿物中铌钽化学分离分析方法研究”中第一专题)

余 皓 江邦杰 燕金寿 范本豪

(中国科学院地质研究所)

一、方法建立的经过与铌钽胶体脱水理论分析

(一) 引言

在1958年我所中心分析室改革硅酸盐岩石快速全分析时，曾提及氟氢酸分解岩石继加高氯酸去氟脱水后，其中不溶物可能有钨、锡、锑、铌和钽五种氧化物(WO_3 , SnO_2 , Sb_2O_5 , Nb_2O_5 , Ta_2O_5)¹⁾，因此考虑可采用氟氢酸溶解铌钽，经高氯酸脱水，初步取出铌钽含量，供分析测量之用。到了1959年曾试用上述溶样法结合马尔济斯(Marzys)分光测量铌钽法²⁾，进行了一些条件实验与样品分析³⁾，其中有一组光谱纯 Nb_2O_5 及 Ta_2O_5 经氟氢酸溶解，高氯酸蒸干脱水回收实验数据列入下表：

试 样	取重(毫克)	回收(毫克)	失量(毫克)
Ta_2O_5	50	49.35	0.65
Nb_2O_5	50	49.70	0.30

钽回收为98.7%，铌回收为99.4%，看来初步结果尚好，但仍有少量铌钽丢失。因此试样中微量铌钽的分出就遇到困难。由于分离困难更胜于测定上的困难，因而对岩石矿物中铌钽分出的方法研究就成为关键的问题。

(二) 铌钽分离的困难与关键

找出存在问题的困难事实及存在问题的关键所在，就能想出解决问题的办法。兹就五个方面来谈谈这一问题。

- 1) 中国科学院地质研究所，硅酸盐岩石快速全分析(载见化学通报1958，10—12期1958)。
- 2) Marzys, Simultaneous absorption metric determinations of tantalum and niobium in ores. The Analyst, p. 194, Vol. 80, 1955.
- 3) 中国科学院地质研究所中心室前铌钽小组张本英等，铌钽分光比色分析法初步小结1960(未发表)。

1. 鈦、鈮、鉬的分离

鈮鉬分离必須首先去鈦。在岩石矿物中三者常常共生，具体到化学分析技术上就感到鈦、鈮、鉬相互分开是有困难的。譬如用高氯酸法分离鈮鉬，若有大量鈦共存时，总有些量鈮鉬不能沉出¹⁾（正如有0.2% ZrO_2 存在时可以防止0.3% TiO_2 的水解一样²⁾）。早期提出水杨酸去鈦是最好的方法，在pH3—4，水杨酸和鈦生成可溶性黄色络合物，而鈮鉬则生成沉淀；有鈮鉬共存时，水杨酸的作用就减弱了，我們做了这样試驗，如表1所示。

表1 水楊酸除鈦試驗

試驗組別	濾液測得 TiO_2 (毫克)
Ti-Nb-Ta組 10毫克 Nb_2O_5 + 10毫克 Ta_2O_5 + 5毫克 TiO_2	3.75
Ti-Nb組 10毫克 Nb_2O_5 + 5毫克 TiO_2	3.05
Ti-Ta組 10毫克 Ta_2O_5 + 5毫克 TiO_2	4.40

数据說明在 Ti-Nb-Ta, Ti-Nb, Ti-Ta, 三个混合液中，分別加水杨酸去鈦，測量濾液中 TiO_2 不能全部回收，有一部分鈦仍被鈮鉬沉淀吸附。

第二个去鈦观察試驗。在硫酸中分別加 H_2O_2 然后用氨水中和以溴酚藍 (Bromot-hymol blue) 为指示剂，煮沸，此刻鈦溶解，鈮鉬沉出，此法用于鈦鈮鉬混合液試驗时，则分离程度較水杨酸法更差。

第三个鈮鉬分离观察試驗，在低浓度硫酸中加氨水至近中性，快速加大量 $(NH_4)_2CO_3$ ，同样一份溶液加过量的 Na_2CO_3 ，此刻 pH 均大于12，煮沸，鈮不沉出而鉬沉淀。若把鈮鉬混合液复試，则鈮受鉬的干扰一部分又生成沉淀。

其次利用 $(H_2O_2 + KOH)$, KOH 及 NaOH 对鈮鉬溶液的分別反应，試驗指出，鈮不沉出而鉬沉出，同样若把鈮鉬混合到一起复試，鈮又大量沉出与鉬难以分开。

此外有人使用席勒(Schoeller)法³⁾，在酒石酸銨介质中用丹宁沉淀法分离鈦、鈮、鉬的試驗指出，各个沉淀完全的 pH 值为 $Ta > pH 2.5$, $Nb > pH 3$, $Ti > pH 4$ ，由此可见鉬鈮分不干淨，鈦鈮也分不干淨。

人所熟知的馬里納克 (Marignac) 法利用 K_2TaF_6 与 K_2NbOF_5 不同溶解度来分开，但仍是分不干淨的，而且 K_2TiF_6 和 K_2NbOF_5 更不易分离。

还有使用抗坏血酸⁴⁾，磺酸水杨酸 (Sulfosalicylic acid, $C_7H_6O_6S \cdot 2H_2O$)，作为去鈦剂，其效果均与前述情况相似。

由于以上試驗事实表明鈦、鈮、鉬分离問題是困难的，因此多年来就形成一个历史

1) 本文“高氯酸去鈦試驗”，也証实了这一現象。

2) Hillebrand, 載于 Bull., 422, U.S.Ged. Surv., 136.

3) W.R.Schoeller, Analyst, 57(1932), 750.

4) 在鈮，鉬中加入鈦，加 0.5 克抗坏血酸，用氨水沉淀，过滤，检查滤液結果：使用 Nb_2O_5 20 毫克者，丢失 0.3 毫克 Nb_2O_5 ，使用 Ta_2O_5 9.05 毫克者丢失 0.1 毫克 Ta_2O_5 。

传统观点：当钛、铌、钽独立存在时各具个性，一經混合就“个性丧失”¹⁾，并提出钛、铌、钽的化合物是类质同象的，化学性质是近似的，而铌钽离子半径大小 (Nb^{5+} 0.69Å; Ta^{5+} 0.68Å) 又几乎是一致的三个原因来佐证这观点。席勒 (Schoeller) 等人并将这一观点引伸到 W-Ti, W-Nb, W-Zr 等分离問題上来²⁾。

化学元素是依据其原子正电荷来决定其个性的，仅就钛、铌、钽难以分开的表面现象不能称谓个性丧失，只能說对铌钽化学本质的認識还不清楚。这一困难是事实，必需承認，还必需仔细分析而又要慎重对待。

2. 找出钛、铌、钽胶体性质变化的本质

铌钽在许多酸碱介质中极容易胶化而析出白色无定形的胶体沉淀。如热硫酸能溶解 Ta_2O_5 及 Nb_2O_5 ，但一經稀释，即发生胶体沉淀；用 KOH 熔融铌钽以水浸出，若时间过久，同样有白色混浊现象。当 Ti^{4+} 的溶液到了 pH 1.5 以上即开始水解胶化，若加热则更甚。易于胶化的普遍现象决定于钛、铌、钽的本性：

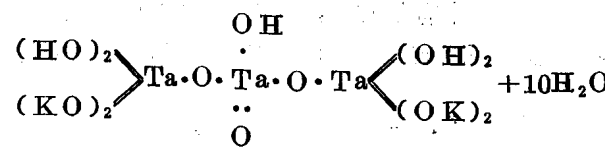
(1) 钛、铌、钽含水氧化物都是微酸性的，其酸度大小如下：



(1) 式說明铌酸与钽酸的微弱程度和碳酸近似，碳酸能使钽酸胶体溶液 (Sol solution) 沉淀，但不能使铌酸胶体溶液立即沉淀。(2) 式說明铌酸与硅酸近似，硅酸亦为易于胶化的弱酸，应可理解到铌酸钽酸和硅酸之間的本性有极大的类似性。通过(3)式比較可以推知，铌酸酸性强于钛酸和钽酸。钛、铌、钽酸三酸的微酸性引起自身胶化乃是它们物理化学本性的表现。

(2) 由于自代换性，增大分子量引起胶化。如正钽酸 (H_3TaO_4)，其中四个氧能被四个 TaO_4^{3-} 基所置换生成五钽酸 ($H_7[Ta(TaO_4)_4] \cdot xH_2O$)，其中 H_7 能被 K_+ , Li_+ , Na_+ 所代换生成盐。此外，其中四个氧又可被其它酸基代换形成杂多酸，造成分离上的困难。又如在浓硫酸中正铌酸 (H_3NbO_4)，正钽酸 (H_3TaO_4)，其中四个氧可被四个双氧基 (-O-O-) 代换生成过氧铌酸 (H_3NbO_8) 及过氧钽酸 (H_3TaO_8)，成为暂时的溶液状态。

由于减水缩合引起胶化。如三钽酸钾的分子式为 $K_4HTa_3O_8 \cdot 12.32 H_2O$ ，其结构式为³⁾：

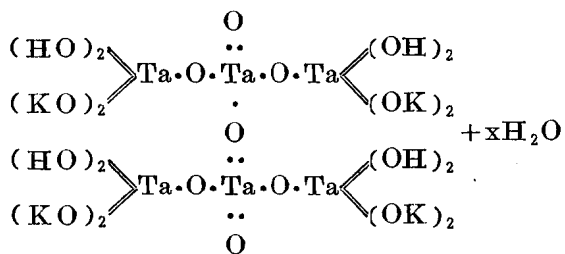


1) Crooks, "Loss of Individuality", 1905.

2) A.R.Powell, W.R.Schoeller and C.John, Analyst, 60(1935), 506.

3) J.W.Mellor, A comprehensive treatise on inorganic and theoretical chemistry, p. 902, Vol.IX, 1933.

二个三钼酸钾通过减水缩合作用变为六钼酸钾：



减水越多，分子量越大，越易起胶化作用。

(3) 在低浓度 F^- 溶液中水解 K_2NbF_7 及 K_2TaF_7 的试验。

K_2TaF_7 加水煮沸能生成胶体状白色四钼氧氟酸钾 ($\text{Ta}_4\text{O}_5\text{F}_{14}$) K_4 沉淀，而 K_2NbF_7 则溶解，但此种反应必需在含有适当少量氟氢酸溶液中进行，可是氟氢酸太多则会增加 K_2TaF_7 的溶解度，过少则铌钼分离不清。我们采用三种不同浓度的 KHF_2 及 HF 作为洗液，滤纸上部的沉淀测铌量，滤液中则测钼的含量，结果如表 2 所示。

表 2 用 KHF_2 为洗液的 K_2NbF_7 及 K_2TaF_7 分离试验结果

Nb (克) (作成 K_2NbF_7 的形式)	Ta (克) (作成 K_2TaF_7 的形式)	滤纸上沉淀含 Nb (毫克)	滤液中含 Ta (毫克)	洗液 $\text{KHF}_2\%$
0.01100	0.01085	0.20	1.12	5.0
0.01010	0.01060	0.40	缺	1.0
0.01035	0.011700	1.00	缺	0.1

注： $\text{KHF}_2 5\% \cong \text{pH} 2.5$, $\text{KHF}_2 1\% \cong \text{pH} 3$, $\text{KHF}_2 0.1\% \cong \text{pH} 5$ 。

表 3 用 HF 为洗液的 K_2TaF_7 及 K_2NbF_7 的分离试验结果

Nb (克) (作成 K_2NbF_7 的形式)	Ta (克) (作成 K_2TaF_7 的形式)	滤纸上沉淀含 Nb (毫克)	滤液中含 Ta (毫克)	洗液 $\text{HF}\%$
0.00900	0.01040	0.7	7.8	0.2
0.01135	0.01095	3.0	2.4	0.1
0.00995	0.01170	4.0	0.0	0.02

注： $\text{HF} 0.2\% \cong \text{pH} 2$, $\text{HF} 0.1\% \cong \text{pH} 3$, $\text{HF} 0.02\% \cong \text{pH} 5$ 。

从以上两个试验看出，沉淀中有铌有钼，滤液中也有铌有钼，即使在有 F^- 溶液中，如其浓度太稀，铌钼也要水解而生成胶体。可见铌钼以易成胶体状态为其特性。

3. 铌钼真溶液的制备

前述试验中表明，铌、钼在浓硫酸、 H_2O_2 、碳酸铵、碳酸钠等溶液的溶解状态中，加热或碱度稍有改变，又或二者混合即自行析出胶体，均无持久性。

只有钼氧酸根 (TaO_4^{2-})、铌氧酸根 (NbO_4^{2-}) 及钼氟酸根 (TaF_7^{2-} , TaF_6^{2-} 等)、铌氟酸根 (NbF_7^{2-} , NbF_6^{2-} , NbOF_5^{2-} , NbOF_6^{2-} 等) 才算离子溶液，因此可用两种方

法制备真溶液。

(1) 把铌钽氧化物溶在 KOH 中，生成六钽酸钾 ($K_8Ta_6O_{19} \cdot xH_2O$) 及六铌酸钾 ($K_8Nb_6O_{19} \cdot xH_2O$)。这些盐能溶于高碱度溶液中，但时间过久或使酸度 $< pH 10$ 铌钽即首先开始生成白色凝胶¹⁾。可见即使在碱液中也只能是暂时的真溶液，或称为半真溶液。用碱液提取铌酸钾、钽酸钾后残留在滤纸上仍有铌钽提取不出，为表 4 試驗数据所証明。如果是真溶液，滤纸上应无铌钽存留或含量极少。碱熔剂加 SiO_2 组和不加 SiO_2 组，試驗結果均一样。

表 4 碱熔铌钽檢查沉淀滤液的試驗結果

Ta_2O_5 (微克)	Nb_2O_5 (微克)	Na_2O_2 (克)	KOH (克)	SiO_2 (克)	Ta_2O_5		Nb_2O_5	
					滤紙上	滤液中	滤紙上	滤液中
100	100	0.5	2.0	0.5	56	38	20	85
100	100	0.5	2.0	—	30	60	60	45
100	100	—	2.0	1.5	38	58	50	40
100	100	—	2.0	0.5	38	48	40	55

(2) 把铌钽溶在浓度足够的氟氢酸溶液中，才是真溶液，因为铌钽离开 F^- 离子即开始水解和胶化，由下面實驗所証明。利用 H_3BO_3 与 F^- 絡合为 BF_4^- ，則 TaF_7^{2-} 、 NbF_7^{2-} 即或快或慢地发生水解。

Nb_2O_5 及 Ta_2O_5 各200毫克分別存在于0.2%的HF中，加飽和 H_3BO_3 水，10分鍾后即开始渾浊，加大过量硼酸后铌亦开始胶化。这种胶化现象影响到消光測量数据。

以六份500微克 Nb_2O_5 (1%HF)，各放在6个Pt坩埚中，加入20毫克KF，用2毫升水取出，加飽和 H_3BO_3 水2毫升，分別先后放置不同時間，用KSON及乙醚苯取法进行比色測量，放置愈久，消光值越下降。

表 5 加硼酸去 F^- 使铌生成胶体对消光的影响

實驗編號	Nb_2O_5 /15毫升乙醚 含量(微克)	放置時間	消光值	現象
1	500	5分鍾	0.435	清
2	500	1小時	0.440	微渾
3	500	2小時	0.420	浊
4	500	3小時	0.385	浊
5	500	4小時	0.380	浊
6	500	12小時	0.200	浊

这一試驗引起我們注意，即当铌钽共存时測量铌或钽互相間干扰的問題。

化学分析上用的溶液，必需是离子的或单分子的才有均一性。胶体溶液总是紛乱的，并且影响已存在的其它离子的浓度。

由此可见，只能在HF溶液中，铌钽才是真溶液。

1) 作者于1959年曾以 $KOH + Ta_2O_5$ 在銀坩埚中熔融以水取出，其 $pH > 13$ ，立即以 H_2SO_4 (1:1) 調節，刚达 $pH = 10$ 即生沉淀。

4. 用HF溶解铌鉬时揮发性的問題

已知 $(\text{NH}_4\text{F} + \text{Ta}_2\text{O}_5)$ 烧灼后，鉬飞失严重，因此怀疑铌鉬在氟氢酸介质中蒸干后加高氯酸脱水之时是否飞失，通过回收試驗證明是不丢失的。

表 6

鉬加HF蒸干試驗

Ta_2O_5 加入量(毫克)	处 理 状 态	回收 Ta_2O_5 (毫克)
9.10	加HF溶解后不蒸干加 HClO_4 脱水	9.20
23.70	加HF溶解后蒸干一次加 HClO_4 脱水	23.90

表 7

铌加HF蒸干試驗

Nb_2O_5 加入量(毫克)	处 理 状 态	回 收 (毫克)
11.50	加HF一次蒸干	11.70
9.90	加HF二次蒸干	9.80
9.10	加HF三次蒸干	9.30

我們还作了微克数量級铌鉬的飞失試驗也都證明铌鉬不丢失。同样作了鈦加HF蒸干回收試驗，也是不飞失的（50毫克 TiO_2 回收 50.10 毫克；1毫克 TiO_2 回收 1.05 毫克）。

在HF中有水有阳离子情况下，铌鉬只能成为絡阴离子 NbF_7^{2-} 、 TaF_7^{2-} 的酸或离子盐，很难成为分子状态揮发出去。只有在干灼无水环境中 NbF_5 ， TaF_5 才易于揮发，但二者遇水分解速度极快，在跑失之前已为空空气中水汽水化为 NbOF_5^{2-} 及 $\text{Ta}_4\text{O}_4\text{F}_{14}^{2+}$ 的絡阴离子了。

$(\text{NH}_4\text{F} + \text{Ta}_2\text{O}_5)$ 在 500—600°C 烧回収試驗，使用 Ta_2O_5 60.30 毫克回收 46.15 毫克，揮发掉 23.5%。同样 $(\text{NH}_4\text{F} + \text{Nb}_2\text{O}_5)$ 在 500—600°C 露空灼烧回収試驗，使用 Nb_2O_5 51.00 毫克者，回收 51.00 毫克，可见铌是不飞失的。如果用 HF 溶解铌鉬，于常溫下蒸干而后在馬弗炉中于 700°C 烧，則 Ta_2O_5 21.10 毫克回收 18.80 毫克，同样揮发严重， Nb_2O_5 106.35 毫克回收 105.45 毫克亦微有揮发。

5. 鋸酸鉬酸水解分离的不完全性

一般在盐酸或硫酸水溶液中用水解法分离铌鉬，此刻若有 Ti, Zr, W 存在則这些元素也要被带下，多次滤集加紙浆也难防止穿滤，滤液中少量铌鉬使用丹宁富集可有一定效果。但丹宁也吸附 Ti, W, 杂质难除¹⁾。另外在 10% HCl 中用銅鐵試剂沉淀铌鉬，則 Ti, Zr, Hf, Mo, W 等共沉淀的杂质更多了；此外有用高氯酸水解铌鉬，过滤时大部分留在滤纸上，小部分穿入滤液中，再用苯胂酸 ($\text{C}_6\text{H}_5\text{ASO}_3\text{H}_3$) 作为补充沉淀剂²⁾，收回滤液中铌鉬。这些方法既不能使铌鉬与干扰元素完全分离，又难保証微量铌

1) W.R.Schoeller and H.W.Webb, Analyst, 54, 704, 1929.

2) 见 A.M.戴莫夫著“矿石与金属的工业分析”下册，168页，1949。

鉬的完全回收。此处所引出的高氯酸法还只是一种粗糙的單純操作过程，尚有待采取改进提高的措施。

綜上所述，分离鉬鉬关键在于解决以下两个問題：

(1) 防止胶化，保持鉬鉬为离子溶液必需溶在 HF 介质中，这就需要配备一套鉬及塑料的分析工具。

(2) 控制鉬鉬酸胶体脱水颗粒大小，以免穿滤丢失。

(三) 高氯酸对鉬酸鉬酸胶体脱水颗粒大小的控制

根据我們的工作經驗，采用氟氢酸溶样，高氯酸脱水法，使鉬酸鉬酸胶体脱水分出是有优点的，因为浓热高氯酸不溶解鉬鉬氧化物，只起脱水分出胶粒的作用（和浓热硫酸起溶解作用相区别）。加水稀释时胶粒复水（Rehydration）作用缓慢，已形成的較粗颗粒易趋稳定（和盐酸稀释后易起复水作用相区别），容易过滤，漏失亦不甚严重，只要把少量极細颗粒的鉬鉬变为較大的粗粒，穿滤现象就解决了。

为了控制颗粒大小，首先要了解鉬鉬胶粒的实际大小，胶粒脱水理論以及前人脱水試驗的事实，而后提出改进脱水技术达到颗粒增大的效果，并以实验数据加以証明。

1. 利用斯托凱斯 (Stokes) 沉降公式計算鉬鉬胶粒大小

計算方程式的由来：分三步导出：

第一步：求运动胶粒最大恒速 V_m 。

一个静止质点，当受重力下落时，通过介质所受的阻力大小与当时速度的快慢成比例，设向下方为“+”，向上方为“-”，则这个质点的运动方程为：

$$\frac{d^2x}{dt^2} = g - kv \quad (1)$$

由于落体向下，(1)式中速度 v 是“+”的，阻力向上所以 kv 又是“-”的。

令 $\frac{d^2x}{dt^2} = \frac{dv}{dt}$ 置換(1)式，则

$\frac{dv}{dt} = g - kv$ 化簡归項，则

$$\frac{dv}{g - kv} = dt \quad (2)$$

把(2)式化为 $-\frac{1}{k} \int \frac{d(g - kv)}{(g - kv)} = \int dt$ 可积分得

$$\log(g - kv) = -kt + C_1 \quad (3)$$

当 $t=0$ ，则 $v=0$ 于是 $\log g = C_1$ 代入(3)式，则

$$\log(g - kv) = -kt + \log g \text{ 归項得}$$

$$v = \frac{g}{k} (1 - e^{-kt}) \quad (4)$$

当 $t = \infty$, 则 v 可当作最大恒速 V_m , 因此

$$V_m = \frac{g}{k} \quad (5)$$

第二步: 求诸力的平衡式。

如果在 $V_m = \frac{g}{k}$ 中的 g 代表来自不同方向作用力的总力 (Resultant force) 用 F 表示, 同时换 k 为 K , 则得:

$$\begin{aligned} KV_m &= F \text{ 移项} \\ F - KV_m &= 0 \end{aligned} \quad (6)$$

(6) 式就表示力的平衡, 并表示当作用力克服了阻力以后, 运动质点就按最大恒速 V_m 前进, 达到最大恒速的时间, 一般是很快的。故这个公式的应用具有良好的实际意义, 把(6)式写成:

$$V_m = \frac{F}{K} \quad (7)$$

第三步: 从(7)式导出胶粒沉降方程式。

在 $KV_m = F$ 中, 斯托凯斯¹⁾已推导出:

(1) $K = 6\pi\eta r$, 其中 r = 胶粒半径, η = 液体介质粘度 (即液体对质点单位速度及单位面积所发生的切线拉力或切面阻力), π 为常数。

(2) $F = \frac{4}{3}\pi r^3 (\rho - \rho_0)g$, 其中 ρ = 胶粒比重, ρ_0 = 液体比重, $g = 980$ 重力加速度。把 K 和 F 代入上式, $KV_m = F$, 则得斯托凯斯微粒沉降最大恒速的平衡公式:

$$6\pi\eta r V_m = \frac{4}{3}\pi r^3 (\rho - \rho_0)g$$

由此得出最大平衡速度公式:

$$V_m = \frac{2}{9} \cdot r^2 (\rho - \rho_0)g / \eta \quad (8)$$

恒速的速度等于距离 x (厘米)除以时间 t (秒), 是一个试验观察值或测量值, 有一次我们用高氯酸脱水法制出了含水 Nb_2O_5 及 Ta_2O_5 的胶体微粒, 以水稀释, 放在玻璃瓶中, 约在室温 $20^\circ C$ 经过 10 小时后在液面 1 厘米下有一分界面, 上清下浊, 即以此作为参考分界面, 计算其速度应为 1 厘米/36000 秒。

代入(8)式, $V_m = 1 \text{ 厘米} / 36000 \text{ 秒} = \frac{2}{9} r^2 (\rho - \rho_0)g / \eta$



图 1

1) H.F.Maudouall, Physical chemistry p.99, 1943.

假設 $\text{Nb}_2\text{O}_5 \cdot x\text{H}_2\text{O}$, 胶粒比重 $\rho \approx 4$, 水的比重, $\rho_0 = 1$, 水的粘度 $\eta \approx 1.00$, $g = 980$, 胶粒半径 r 以厘米表示, 則 $\text{Nb}_2\text{O}_5 \cdot x\text{H}_2\text{O}$ 或 $\text{Ta}_2\text{O}_5 \cdot x\text{H}_2\text{O}$ 胶粒半径可从前式求得:

$$r^2 = \frac{1}{36000} \times \frac{9}{2} \eta / (\rho - \rho_0) \cdot 980$$

$$r^2 = \frac{1 \times 9}{36000 \times 2} / (4 - 1) \cdot 980$$

$$r^2 = 5 \times 10^{-8}$$

$$r = \sqrt{5 \times 10^{-8}}$$

$$r = 2.1 \times 10^{-4} \text{ 厘米} \quad \text{約} = 2 \text{ 微米}$$

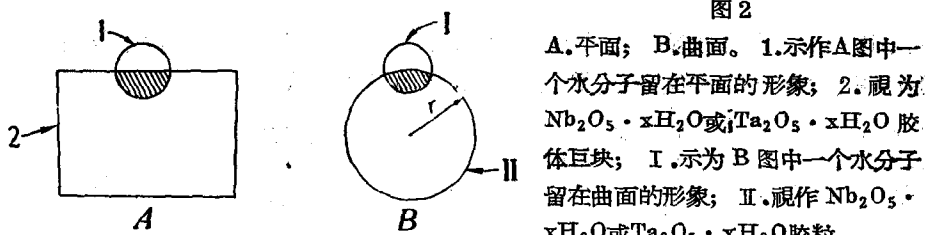
一般 $\text{Ta}_2\text{O}_5 \cdot x\text{H}_2\text{O}$ 的胶粒較 $\text{Nb}_2\text{O}_5 \cdot x\text{H}_2\text{O}$ 更細, 在分界层上部液中有 < 2 微米的胶粒, 在分界层下部液中有 > 2 微米的胶粒。分析用滤紙孔度直径由 10 微米到 3 微米¹⁾。由此可知鉻鉬胶粒半径必須 > 6 微米以上才能可靠地留在滤紙上面而不穿漏。

2. 利用胶粒脫水理論增大粒度

胶粒脫水理論

(1) 含水中性胶粒脫水情况: 在封闭体系中, 按常规定律, 只要是同一溶液同一温度, 蒸汽压是恒定的, 而且与所含溶液质量多寡无关。如果液滴是一个球状微粒, 它的表面蒸汽压的变化不但受温度影响, 且直接因液滴半径大小而改变。 $\text{Nb}_2\text{O}_5 \cdot x\text{H}_2\text{O}$ 及 $\text{Ta}_2\text{O}_5 \cdot x\text{H}_2\text{O}$ 胶粒, 其表面均有一层薄薄的水膜。这样便可以把含水的鉻鉬胶粒作为一个微粒液滴来看待, 以下我們討論微粒液滴蒸汽压的变化和液面曲率大小的关系就可以当着如同討論含水鉻鉬胶粒一样(图 2)。

图 2



A. 平面; B. 曲面。1. 示作A图中一个水分子留在平面的形象; 2. 視为 $\text{Nb}_2\text{O}_5 \cdot x\text{H}_2\text{O}$ 或 $\text{Ta}_2\text{O}_5 \cdot x\text{H}_2\text{O}$ 胶体巨块; I. 示为 B 图中一个水分子留在曲面的形象; II. 視作 $\text{Nb}_2\text{O}_5 \cdot x\text{H}_2\text{O}$ 或 $\text{Ta}_2\text{O}_5 \cdot x\text{H}_2\text{O}$ 胶粒。

已知曲面的曲率 $= \frac{1}{r}$, 曲率越大 r 越小, 粒度也越细。从一般物理学物态出发, 液体曲面上最大蒸汽压总是大于液体平面上最大蒸汽压。胶粒越小, 曲率越大, 因而蒸汽压也越大, 即小颗粒上附着的水膜蒸汽压大于大颗粒上水膜的蒸汽压, 可见细粒脱水易, 粗粒脱水难。球体颗粒大小决定于半径 r , 由此得出曲面最大蒸汽压和平面最大蒸汽压的压力差 δP 和曲率半径 r 大小的关系式²⁾:

1) B.B.涅克拉索夫, 普通化学教程(中册), 525页。

2) J.J.Thomson, "Applications of dynamics to physics and chemistry", p. 163, 1888.

$$\delta P = \frac{2T\rho}{r(s-\rho)} \quad (1)$$

T——液体表面張力，S——液体密度，
 ρ ——液体蒸汽密度，r——含水胶粒曲率半径。

在恒溫時 T.P.S, 都是常数。如果要把絕對溫度 (θ) 和蒸汽压 (P) 联系起来, 就要利用气体方程式, $PV = k\theta$, $P = k\theta \cdot \frac{1}{V}$, 但是 $\frac{1}{V} = \rho$ (即液体蒸汽密度), 故液体蒸汽密度 $\rho = \frac{P}{k\theta}$, 代进(1)式得:

$$\delta P = \frac{2T\rho}{k\theta r(s-\rho)} \text{ 或写成 } \frac{\delta P}{\rho} = \frac{1}{k\theta} \left(\frac{2T}{r} \right) \frac{1}{s-\rho} \quad (2)$$

从(2)式可以看出, 如果溫度不变則 $\frac{1}{k\theta}$ 与 $\frac{1}{s-\rho}$ 仍为常数, 因而压力差 δP 仍然决定于曲率半径 r。因为 ZT/r 項代表液滴表面張力的內压力, r 越小, δP 越大, 蒸发越快, 脱水越易。

胶粒半径 r 究竟多么小才有实际意义呢?

W.湯姆逊 (Thomson) 曾写出一个便于計算的常用对数式如(3)式:

$$\log(P/P_0) = 2T\rho/2.3rP_0s \quad (3)$$

然后通过計算, 就了解細情。

已知液体水, 在 0°C 及水銀柱高为 760mm 下, $T = 80$, $\rho = 0.00081$, $P_0 = 1014000$, $S = 1$, 試代入(3)式并簡化为:

$$\log_{10}\left(\frac{P}{P_0}\right) = 5.6 \times 10^{-8}/r \quad (4)$$

利用这一公式計算胶粒半径从 10^0 厘米到 10^{-5} 厘米的 P/P_0 值。含水胶粒半径曲面, 蒸汽压 (P) 对平面蒸汽压 (P_0) 比值計算如表 8 所示。

表 8 曲面蒸汽压对平面蒸汽压的比值計算

半 径 r (厘米)	$\log_{10}(P/P_0)$	P/P_0
10^0	0.56×10^{-7}	1.00000013
10^{-1}	0.56×10^{-6}	1.0000013
10^{-2}	0.56×10^{-5}	1.000013
10^{-3}	0.56×10^{-4}	1.00013
10^{-4}	0.56×10^{-3}	1.00129
10^{-5}	0.56×10^{-2}	1.01298

从表 8 可见当 $r > 10^{-4}$ 厘米 (> 1 微米) 时, $P/P_0 \approx 1$, 即 δP 差压小, 脱水不易; 当 $r < 10^{-4}$ 厘米 (< 1 微米) 时, P/P_0 的比值开始显著增加。当 $Nb_2O_5 \cdot xH_2O$ 及 $Ta_2O_5 \cdot xH_2O$ 脱水达到 $x = 1$ 或 $x = \frac{1}{2}$ 时, 銻鉬胶粒就成为比較稳定的顆粒。